

УДК 546.82'43'817/621.316.723.2:[621.316.825.2]

## СИНТЕЗ И ЭЛЕКТРОФИЗИЧЕСКИЕ СВОЙСТВА МАТЕРИАЛОВ НА ОСНОВЕ $(1 - x)(\text{Ba}, \text{Y})\text{TiO}_3 \cdot x\text{PbTiO}_3$ С ДОБАВКОЙ ЛЕГКОПЛАВКОГО СТЕКЛА СИСТЕМЫ $\text{B}_2\text{O}_3\text{--PbO--SiO}_2$

© 2011 г. Т. А. Плутенко, О. И. Вьюнов, О. З. Янчевский, А. Г. Белоус

Институт общей и неорганической химии им. В.И. Вернадского Национальной академии наук Украины, Киев

e-mail: vuinov@ionc.kiev.ua

Поступила в редакцию 17.03.2011 г.

Изучены электрофизические свойства твердых растворов на основе  $(1 - x)(\text{Ba}, \text{Y})\text{TiO}_3 \cdot x\text{PbTiO}_3$  с различным содержанием легкоплавкого стекла. Материалы синтезированы методом твердофазных реакций. Спекание проведено на воздухе при 1100–1300°C. Материалы исследованы с помощью метода комплексного импеданса в широких частотном и температурном интервалах. Показано, что основной вклад в эффект положительного температурного коэффициента сопротивления материалов с различным содержанием легкоплавкого стекла вносят как граница зерна, так и приграничная область. С ростом концентрации стекла наблюдается повышение кратности изменения сопротивления и увеличение влияния приграничной зоны на эффект положительного температурного коэффициента сопротивления. Обнаружено, что при повышении концентрации стекла в материалах  $(1 - x)(\text{Ba}, \text{Y})\text{TiO}_3 \cdot x\text{PbTiO}_3$  величина потенциального барьера на границах зерен возрастает.

### ВВЕДЕНИЕ

Материалы, проявляющие эффект позитивного температурного коэффициента сопротивления (ПТКС), находят широкое применение в качестве датчиков температуры, ограничителей тока, переключателей и т.п. [1]. Эффект ПТКС проявляется в резком увеличении сопротивления материала в узком температурном диапазоне в области сегнето-электрического фазового перехода.

В титанате бария, легированном редкоземельными элементами, фазовый переход наблюдается при температуре Кюри (120°C) [2]. Для смещения области ПТКС в сторону высоких температур к титанату бария прибавляют титанат свинца [3]. При повышении концентрации свинца в  $(1 - x)(\text{Ba}, \text{Y})\text{TiO}_3 \cdot x\text{PbTiO}_3$  температура фазового перехода возрастает от 120 до 490°C при  $x = 0$  и 1 соответственно [4]. Однако спекание свинецсодержащей керамики при высоких температурах приводит к образованию материалов с низкой плотностью, что связано с большими потерями свинца при спекании [5]. Кроме того, высокая летучесть свинца препятствует получению керамических образцов с высокой температурой фазового перехода.

С целью уменьшения летучести свинца авторы [6] проводили спекание образцов в свинецсодержащей атмосфере при добавлении в тигли порошка того же состава, что и спекаемая керамика. Другим методом, направленным на снижение потерь свинца при спекании, является введение стеклообразующих добавок [7, 8]. Авторами [8] установлено, что использование легкоплавкого стекла системы

$\text{B}_2\text{O}_3\text{--PbO--SiO}_2$  (BPS) позволяет получать плотную полупроводниковую керамику с содержанием  $\text{PbTiO}_3$  до 60 мол. % за счет значительного снижения температуры спекания.

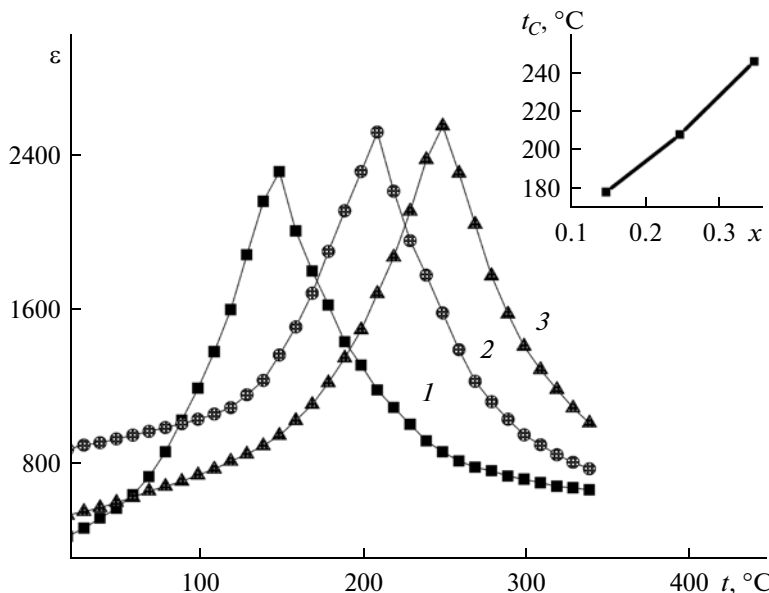
В то же время известно, что керамика с эффектом ПТКС характеризуется электрически неоднородной структурой зерен. В частности, ядро зерна, граница зерна и приграничный слой обладают различными электрофизическими свойствами. Однако данные о влиянии электрически неоднородной структуры зерна на эффект ПТКС в данной системе материалов, которые позволили бы управлять свойствами ПТКС керамики, отсутствуют.

Цель настоящей работы – исследование влияния различных областей зерна на эффект ПТКС в материалах  $(1 - x)(\text{Ba}, \text{Y})\text{TiO}_3 \cdot x\text{PbTiO}_3$  с разной концентрацией стекла.

### МЕТОДИКА ЭКСПЕРИМЕНТА

Для получения легкоплавкого стекла BPS оксиды  $\text{B}_2\text{O}_3$ ,  $\text{PbO}$  и  $\text{SiO}_2$  квалификации “х.ч.” в определенном стехиометрическом соотношении сплавляли в платиновом тигле в интервале температур 800–1000°C. Горячий расплав выливали в холодную воду, дробили, измельчали и пропускали через сито до получения тонкодисперсного порошка. Порошок сушили при 150°C.

Полупроводниковые твердые растворы на основе титанатов бария-свинца синтезировали методом твердофазных реакций. В качестве исходных реагентов использовали  $\text{BaCO}_3$ ,  $\text{TiO}_2$ ,  $\text{Y}_2\text{O}_3$  квалифика-



**Рис. 1.** Температурные зависимости диэлектрической проницаемости керамики  $(1 - x)(\text{Ba}, \text{Y})\text{TiO}_3 \cdot x\text{PbTiO}_3$ , где  $x = 0.15$  (I),  $0.25$  (2),  $0.35$  (3), на частоте 100 кГц. На вставке – зависимость температуры Кюри керамики  $(1 - x)(\text{Ba}, \text{Y})\text{TiO}_3 \cdot x\text{PbTiO}_3$  от  $x$ .

ции “ос.ч.” и  $\text{PbTiO}_3$  “х.ч.”. Порошки перемешивали в течение 6–10 ч с добавлением бидистиллированной воды в шаровой мельнице. Далее проводили обжиг полученной шихты в течение 2 ч при 900–1100°C. Для получения керамики к обожженному порошку прибавляли 2–6 мас. % BPS, и проводили “мокрый” вибропомол с добавлением бидистиллированной воды (6–8 ч). В высушеннную шихту с BPS вводили связующее вещество и прессовали таблетки диаметром 10 и высотой 3 мм. Спекание проводили на воздухе в интервале 1100–1300°C в течение 1 ч. Скорости нагрева и охлаждения составляли 150–400°C/ч. На поверхности полученных образцов наносили алюминиевые электроды путем вжигания алюминиевой пасты.

Температурную зависимость электрического сопротивления образцов измеряли при охлаждении в диапазоне температур от 600 до 20°C.

Данные импедансометрических исследований получали с помощью 1260 Impedance Gain-Phase Analyzer (Solartron Analytical) в диапазоне от 100 Гц до 1 МГц. Компоненты эквивалентной схемы идентифицировали с использованием программного обеспечения ZView (Scribner Associates).

## РЕЗУЛЬТАТЫ И ИХ ОБСУЖДЕНИЕ

Результаты исследования температурной зависимости диэлектрической проницаемости для образцов  $(1 - x)(\text{Ba}, \text{Y})\text{TiO}_3 \cdot x\text{PbTiO}_3$  ( $0.15 \leq x \leq 0.35$ ) на частоте 100 кГц приведены на рис. 1. По мере увеличения содержания свинца ( $x$ ) температура максимума

на зависимости  $\epsilon(T)$ , которая соответствует фазовому переходу, повышается (вставка на рис. 1).

При введении в ПТКС-керамику на основе титаната бария-свинца добавки BPS повышается кратность изменения сопротивления в области ПТКС (рис. 2), которую определяли как отношение максимального удельного сопротивления ( $\rho_{\max}$ ) к минимальному ( $\rho_{\min}$ ). С ростом содержания стекла BPS наблюдается постепенное смещение температурного интервала ПТКС в сторону высоких температур и увеличение температуры Кюри. Такая зависимость вызвана уменьшением потерь свинца в образце при спекании, что может быть обусловлено как снижением температуры спекания, так и увеличением взаимодействия оксида свинца из добавки BPS с основным веществом.

Импедансометрические исследования эффекта ПТКС в  $(1 - x)(\text{Ba}, \text{Y})\text{TiO}_3 \cdot x\text{PbTiO}_3 + \text{BPS}$  могут быть представлены четырьмя типами частотных кривых: комплексного импеданса ( $Z^*$ ), комплексного адmittанса ( $Y^*$ ), комплексной диэлектрической проницаемости ( $\epsilon^*$ ), комплексного электрического модуля ( $M^*$ ) [9, 10]. Комплексные величины связаны между собой:

$$M^* = 1/\epsilon^* = j\omega C_0 Z^* = j\omega C_0 (1/Y^*) .$$

Здесь  $\omega$  – угловая частота, а  $C_0$  – емкость пустой ячейки ( $j = \sqrt{-1}$ ). Первоначальные результаты исследования материалов были получены в виде зависимостей  $Z'' = f(Z')$ . Для определения составных частей эквивалентной схемы данные импедансометрических исследований представлены в виде

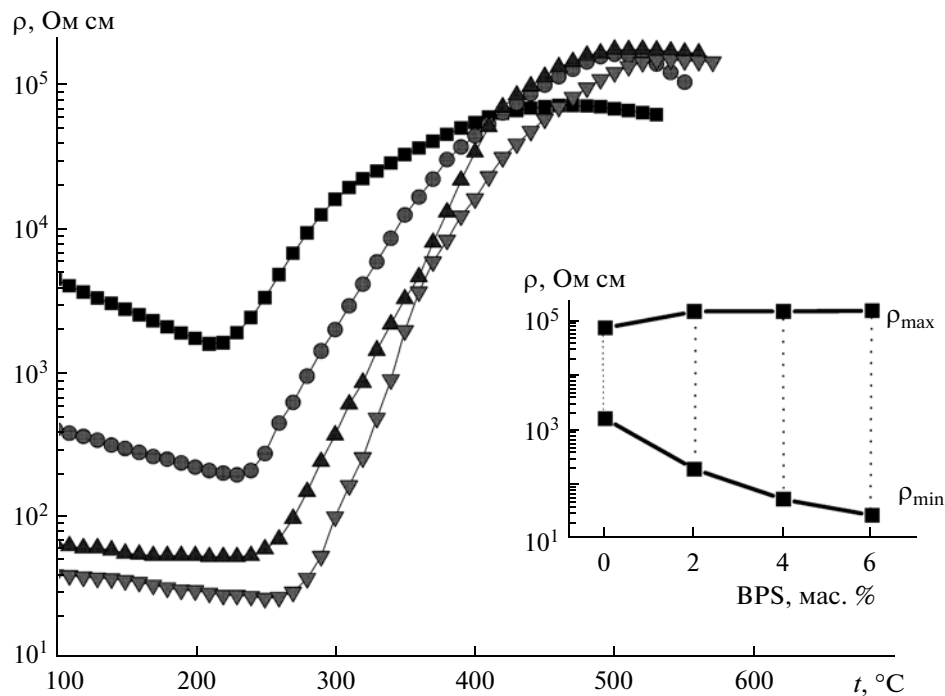


Рис. 2. Температурные зависимости удельного сопротивления позисторной керамики  $\text{Ba}_{0.745}\text{Y}_{0.005}\text{TiO}_3-\text{Pb}_{0.25}\text{TiO}_3 + \text{BPS}$  при содержании BPS 0 (1), 2 (2), 4 (3), 6 мас. % (4). На вставке – зависимости максимального и минимального значений удельного сопротивления керамики от содержания BPS .

частотных зависимостей мнимых частей комплексного импеданса  $Z''$  и комплексного электрического модуля  $M''$  (рис. 3). Известно, что частотные зависимости  $Z''$  и  $M''$  для параллельной  $RC$ -цепи описываются уравнениями [9–11]:

$$Z'' = R \frac{\omega RC}{1 + (\omega RC)^2}, \quad (1)$$

$$M'' = \frac{\epsilon_0}{C} \frac{\omega RC}{1 + (\omega RC)^2}, \quad (2)$$

где  $\omega = 2\pi f$  ( $f$  – частота в Гц), и  $\epsilon_0$  – диэлектрическая проницаемость ( $8.854 \times 10^{-14} \Phi/\text{см}$ ).

Из уравнений (1) и (2) следует:

$$\omega_{\max} = \frac{1}{RC}, \quad (3)$$

$$Z''_{\max} = \frac{R}{2}, \quad (4)$$

$$M''_{\max} = \frac{\epsilon_0}{2C}. \quad (5)$$

Уравнения (3)–(5) показывают, что при смещении пиков  $Z''_{\max}$  и  $M''_{\max}$  в зависимости от частоты наблюдается изменение как емкости, так и сопротивления  $RC$ -цепи эквивалентной электрической схемы. При этом  $Z''_{\max}$  и  $M''_{\max}$  находятся во взаимосвязи

$$M'' = \frac{\epsilon_0 Z''}{C R}. \quad (6)$$

Был проведен анализ экспериментальных данных с использованием модели зерна ПТКС-керамики, предложенной авторами [11]. Согласно этой модели, ядро зерна обладает полупроводниковыми свойствами, тогда как у границ зерна проявляются диэлектрические свойства. Между этими двумя областями находится переходная область, в которой удельное сопротивление выше, чем в объеме зерна, но ниже, чем на границах зерен. Эти области керамики электрически неоднородны и могут быть представлены эквивалентной схемой, состоящей из трех параллельных  $RC$ -элементов, последовательно соединенных. В частности изменение в величинах и положениях максимумов  $Z''(f)$  и  $M''(f)$  определяется электрофизическими свойствами следующих областей зерна: границы зерен определяются значениями  $Z''(f)$ , переходная область определяется значениями  $M''(f)$  в середине частотного диапазона, тогда как объем зерна определяется значениями  $M''(f)$  при частотах более  $10^6$  Гц.

На рис. 3 представлены частотные зависимости  $Z''$  и  $M''$  образцов составов  $\text{Ba}_{0.645}\text{Y}_{0.005}\text{TiO}_3-\text{Pb}_{0.35}\text{TiO}_3 + \text{BPS}$  (0 и 4 мас. %, BPS), исследованных при  $450^\circ\text{C}$ . Показано, что пики  $Z''_{\max}$  и  $M''_{\max}$  не совпадают по частоте, что свидетельствует о наличии нескольких областей зерна с разными электрофизическими свойствами. На кривой  $Z''(f)$  наблюдается один

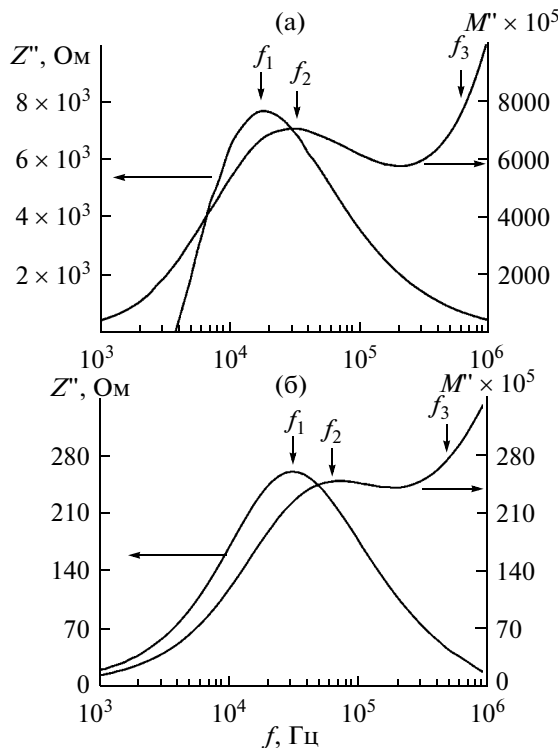


Рис. 3. Частотные зависимости  $Z''$  и  $M''$  керамики  $\text{Ba}_{0.645}\text{Y}_{0.005}\text{TiO}_3\text{-Pb}_{0.35}\text{TiO}_3 + \text{BPS}$  при температуре  $450^\circ\text{C}$  с содержанием BPS 0 (а), 4 мас. % (б).

пик (при 0 мас. % BPS –  $\sim 1 \times 10^4$  Гц; при 4 мас. %, BPS –  $\sim 3 \times 10^4$  Гц), а на кривой  $M''(f)$  – два пика: один в области средних частот (при 0 мас. %, BPS –  $\sim 3 \times 10^4$  Гц; при 4 мас. %, BPS –  $\sim 7 \times 10^4$  Гц), а второй в высокочастотной ( $> 10^6$  Гц) области.

Результаты анализа показали, что разделить свойства зерна, границы зерна и приграничного слоя можно только выше  $220^\circ\text{C}$  (рис. 4). Сопротивление ядра зерна мало изменяется в исследуемой

температурной области. В то же время сопротивление границы зерна и приграничного слоя проходит через максимум (рис. 4, кривые 2 и 3). Это указывает на то, что основной вклад в ПТКС-эффект исследуемых материалов вносят граница зерна и приграничный слой. При увеличении содержания BPS в керамике  $(1 - x)(\text{Ba}, \text{Y})\text{TiO}_3 \cdot x\text{PbTiO}_3 + \text{BPS}$  наблюдается повышение сопротивления приграничного слоя (рис. 4а, 4б, кривые 2). При этом значение отношения максимальных сопротивлений границы зерна ( $R_b$ ) и приграничного слоя ( $R_0$ ) с ростом содержания BPS уменьшается (рис. 5).

При спекании керамики  $(1 - x)(\text{Ba}, \text{Y})\text{TiO}_3 \cdot x\text{PbTiO}_3$  наблюдаются высокие потери свинца [8]. Приграничная область в этих материалах может быть представлена областью диффузии вакансий свинца  $V_{\text{Pb}}^{''}$  от границы к ядру зерна. При этом часть вакансий свинца компенсируется ионами иттрия по реакции

$$V_{\text{Pb}}^{''} + 2\text{Y}_{\text{Ba}}^{\bullet} = 0.$$

При введении добавки сопротивление приграничного слоя приближается по значению к сопротивлению границы зерна (рис. 5), что свидетельствует об уменьшении различия электрофизических свойств между ними. Это может быть связано с уменьшением количества вакансий свинца в приграничной области при введении BPS. Таким образом, с ростом содержания BPS количество свободных электронов в ядре зерна возрастает, что подтверждается снижением величины  $\rho_{\min}$  и увеличением кратности изменения сопротивления (вставка на рис. 2).

Для определения причины повышения кратности изменения сопротивления керамики  $(1 - x)(\text{Ba}, \text{Y})\text{TiO}_3 \cdot x\text{PbTiO}_3 + \text{BPS}$  в области ПТКС от содержания BPS проведен расчет величины потенциального

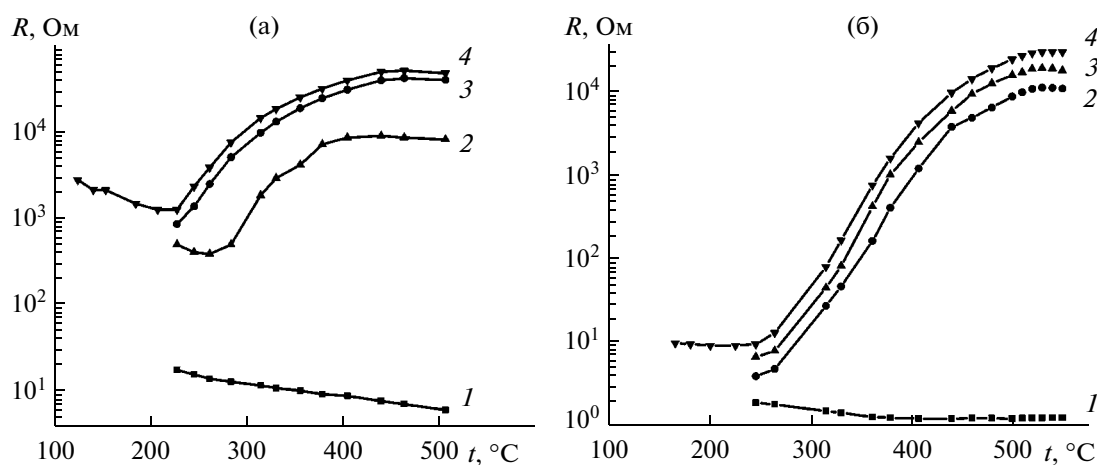


Рис. 4. Температурные зависимости сопротивления объема зерна (1), приграничного слоя (2), границы зерна (3) и полного сопротивления (4) керамики  $\text{Ba}_{0.745}\text{Y}_{0.005}\text{TiO}_3\text{-Pb}_{0.25}\text{TiO}_3 + \text{BPS}$  при содержании BPS 0 (а), 6 мас. % (б).

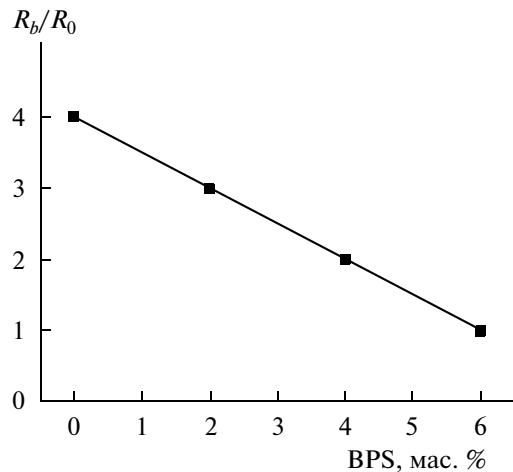


Рис. 5. Зависимость значения  $R_b/R_0$  от содержания BPS в керамике  $\text{Ba}_{0.745}\text{Y}_{0.005}\text{TiO}_3\text{-Pb}_{0.25}\text{TiO}_3 + \text{BPS}$  ( $R_b$ ,  $R_0$  — максимальные значения сопротивлений границы зерна и приграничного слоя).

барьера на границе зерен. На температурной зависимости удельного сопротивления, характерной для ПТКС-керамики, можно выделить три области [12]. В области I температурное изменение сопротивления подобно таковому для полупроводников, в области III — для диэлектриков, а в области II — проявляется эффект ПТКС. В области эффекта ПТКС изменение удельного сопротивления можно описать с помощью модели Хэйванга [2]. В соответствии с этой моделью на границах зерен существуют акцепторные уровни, приводящие к возникновению потенциального барьера.

Был проведен расчет величины потенциального барьера на границе зерен системы  $(1-x)(\text{Ba}, \text{Y})\text{TiO}_3 - x\text{PbTiO}_3 + \text{BPS}$ . Изменение сопротивления в области I описывается уравнением [2, 13]:

$$\rho_s = \rho_0 e^{\frac{E_a'}{kT}}, \quad (7)$$

где  $\rho_0$  — константа;  $E_a'$  — энергия активации проводимости в области I, а в области III — уравнением [2, 13]:

$$\rho_d = \rho_0^d e^{\frac{E_a''}{kT}}, \quad (8)$$

#### Влияние содержания BPS на свойства позисторной керамики

BPS, мас. %	$\rho_0$ , Ом см	$E_a'$ , эВ	$(n_D b^2) \times 10^{-8}$ , см <sup>-1</sup>	$\rho_0^d$ , кОм см	$E_a''$ , эВ
0	46.0	0.05	2.3	5.33	0.17
2	43.0	0.03	2.8	6.00	0.15
4	42.5	0.02	2.9	38.4	0.10
6	42.0	0.01	3.0	52.1	0.07

где  $E_a''$  — энергия активации проводимости в области III.

Изменение сопротивления в области II, где проявляется эффект ПТКС, описывают уравнением [2]:

$$\rho = \alpha \rho_s e^{\frac{\Phi_0(T)}{kT}}, \quad (9)$$

где  $\alpha$  — фактор геометрической конфигурации;  $\Phi_0(T)$  — высота потенциального барьера на границах зерен:

$$\Phi_0(T) = \frac{e^2 n_D b^2}{2 \epsilon_i(T) \epsilon_0}. \quad (10)$$

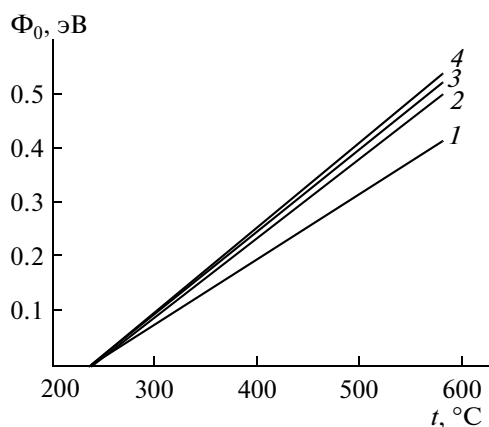
Здесь  $e$  — заряд электрона ( $1.602 \times 10^{-19}$  Кл);  $n_D$  — объемная концентрация электронов;  $b$  — толщина потенциального барьера ( $2b = \frac{n_S}{n_p}$ , где  $n_S$  — поверхностная концентрация акцепторных состояний);  $\epsilon_i(T)$  — значение диэлектрической проницаемости зерен, которая в сегнетоэлектриках изменяется по закону Кюри—Вейсса:  $\epsilon_i(T) = \frac{C}{T - \Theta}$  ( $C$  — постоянная Кюри;  $T_C$  — температура Кюри (например, для титаната бария  $C = 1.7 \times 10^5$  К;  $\Theta = 383$  К [12])).

Из уравнений (1), (3) можно получить выражение

$$\rho = \alpha \rho_0 e^{\frac{E_a'}{kT}} e^{\frac{E_a'' n_D b^2 (T - \Theta)}{2 \epsilon_0 C k T}}. \quad (11)$$

Результаты расчетов, приведенных в соответствии с уравнениями (7), (8), (11), указывают на то, что с повышением содержания BPS в области I значение  $\rho_0$  уменьшается, а в области III значение  $\rho_0^d$  увеличивается, при этом значения энергий активации  $E_a'$  и  $E_a''$  снижаются (таблица).

На основании полученных данных с использованием уравнения (10) было рассчитано изменение величины потенциального барьера на границе зерен ( $\Phi_0$ ) ПТКС-керамики в зависимости от  $x$ . Расчет проводили для температурной области II, в которой наблюдается значительный рост сопротивления. С увеличением содержания BPS величина потенциального барьера повышается (рис. 6), что и объясняет повышение кратности изменения сопротивления в области ПТКС.



**Рис. 6.** Температурные зависимости величины потенциального барьера керамики  $\text{Ba}_{0.745}\text{Y}_{0.005}\text{TiO}_3 - \text{Pb}_{0.25}\text{TiO}_3 + \text{BPS}\%$  (4) при содержании BPS 0 (1), 2 (2), 4 (3), 6 мас. % (4).

## ЗАКЛЮЧЕНИЕ

Исследования керамики  $(1-x)(\text{Ba}, \text{Y})\text{TiO}_3 \cdot x\text{PbTiO}_3$  с добавкой BPS в широком интервале частот и температур показали, что основной вклад в эффект ПТКС материалов с разным содержанием легкоплавкого стекла вносят как граница зерна, так и приграничная область.

Показано, что с ростом концентрации стекла наблюдается повышение кратности изменения сопротивления, температуры Кюри и увеличение влияния приграничной зоны на эффект ПТКС.

Обнаружено, что при повышении концентрации стекла в материалах  $(1-x)(\text{Ba}, \text{Y})\text{TiO}_3 \cdot x\text{PbTiO}_3$  величина потенциального барьера на границах зерен возрастает.

## СПИСОК ЛИТЕРАТУРЫ

1. Окадзаки К. Полупроводники на основе титаната бария. М.: Энергоиздат, 1982. 328 с.
2. Heywang W. Resistivity Anomaly in Doped Barium Titanate // J. Am. Ceram. Soc. 1964. V. 47. № 10. P. 484–490.
3. Веневцев Ю.Н., Политова Е.Д., Иванов С.А. Сегнето- и антисегнетоэлектрики семейства титаната бария. М.: Химия, 1985. 255 с.
4. Xing X., Deng J., Zhu Zh., Liu G. Solid Solution  $\text{Ba}_{1-x}\text{Pb}_x\text{TiO}_3$  and Its Thermal Expansion // J. Alloys Compnd. 2003. V. 353. P. 1–4.
5. Мясоедов А.В., Сырцов С.Р. Положительный температурный коэффициент сопротивления в свинец-содержащей керамике титаната бария // ЖТФ. 1997. Т. 67. № 9. С. 126–127.
6. Chun-Hung L., Tseung-Juen T. Preparation and AC Electrical Response Analysis for  $(\text{Ba}, \text{Pb})\text{TiO}_3$  PTCR Ceramics // J. Am. Ceram. Soc. 1993. V. 76. № 3. P. 781–784.
7. Гольцов Ю.И., Шпак Л.А. Получение и свойства полупроводниковой керамики на основе титаната бария-свинца // Изв. АН СССР. Неорган. материалы. 1990. Т. 26. № 11. С. 2418–2421.
8. Янчевский О.З., Вьюнов О.И., Белоус А.Г. Получение полупроводниковой керамики на основе титаната бария-свинца с использованием легкоплавких стекол и ее свойства // Неорган. материалы. 2003. Т. 39. № 6. С. 761–768.
9. Morrison F.D., Sinclair D.C., West A.R. An Alternative Explanation for the Origin of the Resistivity Anomaly in La-Doped  $\text{BaTiO}_3$  // J. Am. Ceram. Soc. 2001. V. 84. № 2. P. 474–476.
10. Morrison F.D., Sinclair D.C., West A.R. Characterization of Lanthanum-Doped Barium Titanate Ceramics Using Impedance Spectroscopy // J. Am. Ceram. Soc. 2001. V. 84. № 3. P. 531–538.
11. Sinclair D.C., West A.R. Use of Succinic Acid to Test the Stability of PTCR Barium Titanate Ceramics under Reducing Conditions // J. Am. Ceram. Soc. 1995. V. 78. № 1. P. 241–244.
12. Вьюнов О.И., Коваленко Л.Л., Белоус А.Г., Беляков В.Н. Распределение ионов марганца и его влияние на свойства позисторной керамики  $(\text{Ba}, \text{Y})\text{TiO}_3$  // Неорган. материалы. 2003. Т. 39. № 2. С. 245–252.
13. Heywang W. Semiconducting Barium Titanate // J. Mater. Sci. 1971. № 6. P. 1214–1226.